論文 下層階で壁が抜ける 10 階建 RC 造骨組における崩壊層の比率と地震 応答

福地 武彰*1・朱 彤*2・毎田 悠承*3・和泉 信之*4

要旨:少数の層が部分崩壊形を形成する RC 造建築物では、全体崩壊形と比べて崩壊層の地震時変形が過大になることが危惧される。本研究では、下層階で壁が抜ける 10 階建 RC 造骨組を対象に、崩壊形と崩壊層の設定をパラメータとして静的非線形解析及び時刻歴地震応答解析を実施し、崩壊層の比率と地震応答との関係を検討する。これらの検討結果から、塑性ヒンジ柱の応答変形角が過大とならない崩壊層の保有水平耐力と崩壊層比率の条件を考察する。

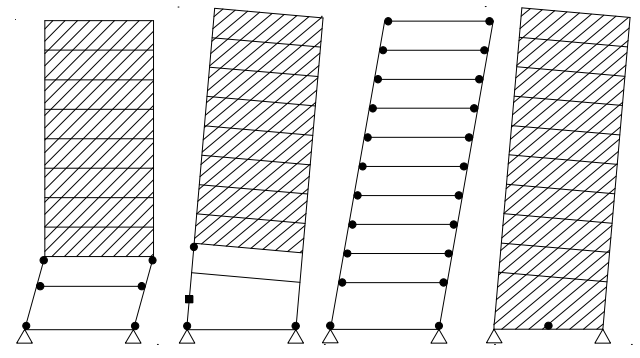
キーワード: 鉄筋コンクリート造建築物,保有水平耐力計算,時刻歴応答解析,部分崩壊形,地震応答

1. はじめに

「鉄筋コンクリート構造保有水平耐力計算規準(案)・同解説」¹⁾ (以下,保耐規準)では,曲げ破壊型全体崩壊形(以下,Aルート)を推奨し,所定の部分崩壊形を適用範囲としている。特定の少数層の柱や梁が曲げ破壊する部分崩壊形では,全体崩壊形に比べてエネルギー吸収を期待できる層が少ないことから,崩壊層の地震時変形が大きくなることが危惧される。そのため,保耐規準では,特定の少数層が崩壊層となる曲げ破壊型部分崩壊形(以下,Cルート)に対しては,構造特性係数(Ds値)を最大値(0.55)としている。しかし,地震時変形が過大とならない崩壊層の比率と保有水平耐力の大きさとの関係については具体的に規定されていない。

著者らは、鉄筋コンクリート造(以下,RC造)曲げ破壊型骨組の崩壊形と保有水平耐力について研究している。部分崩壊形については、崩壊層の層数が全層数の1/3未満の骨組では、Ds値が0.55の場合でも応答変形が過大となる可能性があることを指摘した2。

本研究では、下層階で壁が抜ける 10 階建 RC 造骨組を対象として静的非線形解析及び時刻歴地震応答解析を実施し、崩壊層の比率と地震応答との関係について検討する。仕事量に基づく崩壊層の比率に着目して、崩壊層の保有水平耐力や応答変形、非崩壊層の耐力余裕について分析し、崩壊層の応答変形が過大とならない部分崩壊形の条件を考察する。下層階で壁が抜ける骨組の崩壊形としては、柱曲げ破壊により層崩壊となる部分崩壊形(ケース CF)と柱が引張破壊となる全体崩壊形(ケース AFW)とする。そのほか、地震応答の比較のため、梁曲げ破壊の全体崩壊形(ケース AF)と 1 階壁脚が曲げ破壊の全体崩壊形(ケース AW)を対象とする(図 - 1)。



(a)ケース CF (b)ケース AFW (c)ケース AF (d)ケース AW 注) ●: 塑性曲げヒンジ、■: 塑性引張ヒンジ、 : 耐震壁 図ー1 対象とする部分崩壊形と全体崩壊形

2. 崩壊指標

2.1 崩壊層比率

崩壊層比率 (pR) としては、崩壊層の層数を全層数で除した崩壊層比率 (pR1) のほかに、本研究では部分崩壊形の外力仕事量を全体崩壊形の外力仕事量で除した崩壊層比率 (pR2) を用いる。外力分布は、Ai 分布に基づく分布とする 1)。

$$pR2 = \frac{\text{部分崩壊形の}\sum_{\hat{m}\hat{\gamma}}Q_i \cdot h_i \cdot \theta_i}{\text{全体崩壊形の}\sum_{\hat{\gamma}\hat{k}}Q_i \cdot h_i \cdot \theta_i}$$
(1)

ここで、#gQi: 部分崩壊形形成時のi 階の層せん断力、#gCB: 部分崩壊形形成時のベースシア係数、#gE Qi: 全体崩壊形のベースシア係数が#gCB となるi 階の層せん断力、Mi:i 階の階高、 θi : 仮想仕事法におけるi 階の層間変形角である。

2.2 崩壊層剛性比

崩壊層剛性比 (sK_P) は、静的非線形解析による最大層間変形角が 1/100rad 時において全層の変形角を崩壊層の変形角で除した値とする。なお、全層の変形角は建物の全

*1 千葉大学大学院 工学研究科建築·都市科学専攻博士前期課程 (学生会員)

*2 千葉大学 工学部建築学科

*3 千葉大学大学院 工学研究科建築·都市科学専攻助教 博(工) (正会員)

*4 千葉大学大学院 工学研究科建築・都市科学専攻教授 博(工) (フェロー会員)

変位を建物高さで除した値、崩壊層の変形角は崩壊層の 全変位を崩壊層全体の高さで除した値とする。

$$_{S}K_{P}=\frac{$$
建物の全変位/建物高さ 崩壊層の変位/崩壊層のみの高さ (2)

3. 解析計画

3.1 対象骨組と解析ケース

対象は、10 階建中高層 RC 造住宅(図-2)の張間方向を想定した曲げ破壊型の骨組である。張間方向は同じ骨組が並列してものとして、解析には平面フレームモデルを用いる。解析ケースの崩壊形は図-1 に示す 4 ケースであり、ケース CF 及びケース AFW では下層階で壁が抜ける層数をパラメータとして設定する(表-1、図-3)。また、各ケースの部材断面は、崩壊形形成時のベースシア係数 (C_u) が 0.3、0.45、0.55、0.7 となるように設定する(表-2)。各ケースにおいて、法規定の Ds 値を満足する C_u となるケース(CF では 0.55、AFW と AF では 0.45、AF では 0.30)を標準ケースとする。なお、ヒンジ発生部材の部材種別は A ランクとし、脆性破壊が生じないものとす

表-1 解析ケース

	崩壊形	Cu值						
ケース	下層階壁抜け層数	0.30	0.45	0. 55	0.70			
	1	1CF _{0.30}	1CF _{0.45}	1CF _{0.55}	1CF _{0.70}			
CF	3	3CF _{0.30}	3CF _{0.45}	3CF _{0.55}	3CF _{0.70}			
01	5	5CF _{0.30}	5CF _{0.45}	5CF _{0.55}	5CF _{0.70}			
	7	7CF _{0.30}	7CF _{0.45}	7CF _{0.55}	7CF _{0.70}			
	1	-	1AFW _{0.45}	1AFW _{0.55}	1AFW _{0.70}			
AFW	3	-	3AFW _{0.45}	3AFW _{0.55}	3AFW _{0.70}			
AI II	5	-	5AFW _{0.45}	5AFW _{0.55}	5AFW _{0.70}			
	7	-	7AFW _{0.45}	7AFW _{0.55}	7AFW _{0.70}			
AF	10	AF _{0.30}	AF _{0.45}	AF _{0.55}	AF _{0.70}			
AW	0	_	AW _{0.45}	AW _{0.55}	AW _{0.70}			



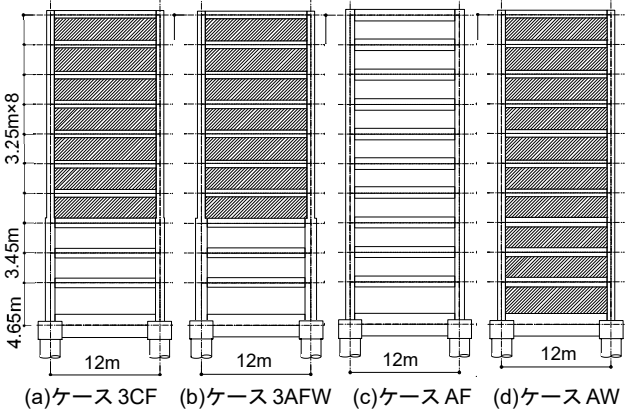


図-3 代表的な軸組図

る。また、ヒンジ柱は崩壊形形成時に保耐規準における A ランクのせん断補強指標を満足するように帯筋を配筋 し、壁厚はケース CF、AFW では $180 \, \mathrm{mm}$ 、ケース AW では $120 \, \mathrm{\sim} 180 \, \mathrm{mm}$ とする。

3.2 部材のモデル化

柱と耐震壁の曲げ及び軸力に対してはファイバーモデル、柱のせん断に対しては原点指向バイリニア型、壁のせん断に対しては原点指向トリリニア型とする。梁の曲げに対しては材端ばねモデルの TAKEDA モデルとする(図ー4)。ファイバーモデルにおけるコンクリートの応力ーひずみ関係は、曲線剛性逓減型としてコンクリートの引張耐力を設計基準強度の 1/12 程度に設定する。また、鉄筋はバイリニアの剛性逓減型とする50。

3.3 解析方法

静的非線形解析では、外力分布は Ai 分布に基づく分布 とする。時刻歴地震応答解析では、減衰は瞬間剛性比例型 減衰 (1 次減衰定数 h1=3%) とする。検討用地震動には、法告示による第 2 種地盤のレベル 2 地震動 4 波 (表-3、図-5) を用いる。各ケースの弾性 1 次固有周期を表-4に示す。なお、解析には $P-\delta$ 効果を考慮する。

表-2 1階柱と2階梁の断面

			柱断面	梁断面					
解析ケース	В	D			p _w	В	D		
	[mm	[mm	X主筋※	Y主筋	[%]	[mm	[mm	端部上端筋	
105]	700	4 005	4 DOF]	1000	F /0 DOF	
1 CF _{0.30}	1100	700	4-D35	4-D35	0.914	650	1200	5/3-D35	
1 CF _{0. 45}	1200	800	6-D38	4-D38	0.838	650	1200	5/3-D35	
1 CF _{0.55}	1500	800	8-D35	6-D35	0.838	650	1200	5/3-D35	
1 CF _{0.70}	1500	1000	8-D35	6-D35	1.005	650	1200	5/3-D35	
3CF _{0.30}	1100	850	7-D35	5-D35	0.914	650	1200	6/4-D38	
3CF _{0.45}	1200	850	8-D38	6-D38	1.047	950	1200	8/8-D38	
3CF _{0.55}	1500	900	10/5-D38	6-D38	0.838	1000	1200	8/8-D38	
3CF _{0.70}	1500	1000	10/10-D38	6-D38	0.838	1100	1200	10/8-D38	
5CF _{0.30}	1100	900	7-D38	5-D38	0.914	650	1200	6/4-D38	
5CF _{0.45}	1200	900	8/6-D38	6-D38	1.047	900	1200	8/4-D38	
5CF _{0.55}	1500	950	10/10-D38	6-D38	0.838	950	1200	8/6-D38	
5CF _{0.70}	1500	1100	10/10-D38	6-D38	0.838	1100	1200	10/6-D38	
7CF _{0.30}	1100	900	8-D38	5-D38	0.914	600	1200	6/4-D38	
7CF _{0.45}	1200	1050	8-D38	6-D38	0.838	950	1200	8/4-D38	
7CF _{0.55}	1500	1000	10/6-D38	6-D38	0.838	1000	1200	8/8-D38	
7CF _{0.70}	1500	1200	10/10-D38	6-D38	0.838	1150	1200	10/10-D38	
1AFW _{0.45}	500	1600	4-D32	2-D32	2.011	500	1200	5/5-D35	
1AFW _{0.55}	900	1300	5-D32	4-D32	1.676	650	1200	5/3-D35	
1AFW _{0.70}	1500	1250	7-D32	5-D32	1.608	650	1200	5/3-D35	
3AFW _{0.45}	500	1600	4-D32	2-D32	2.011	500	1200	5/5-D35	
3AFW _{0.55}	900	1300	5-D32	4-D32	1.117	900	1200	8/8-D38	
3AFW _{0.70}	1500	1250	7-D32	5-D32	1.608	950	1200	8/8-D38	
5AFW _{0.45}	550	1600	4-D35	2-D35	2. 193	550	1200	5/5-D38	
5AFW _{0.55}	950	1300	5-D32	4-D32	1.693	900	1200	8/8-D38	
5AFW _{0.70}	1500	1300	7-D32	5-D32 1.608		950	1200	8/8-D38	
7AFW _{0.45}	550	1600	4-D35	2-D35	2. 925	550	1200	5/5-D38	
7AFW _{0.55}	950	1300	5-D32	4-D32	1.693	900	1200	8/8-D38	
7AFW _{0.70}	1500	1300	7-D32	5-D32	1.608	950	1200	8/8-D38	
AF _{0.30}	1100	1000	9-D38	5-D38	0.914	600	1200	6/4-D35	
AF _{0.45}	1200	1050	10/2-D38	6-D38	0.838	950	1200	8/5-D38	
AF _{0.55}	1500	1100	10/2-D38	6-D38	0.670	1050	1200	10/8-D38	
AF _{0.70}	1500	1250	10/10-D38	6-D38	0.670	1150	1200	10/10-D38	
AW _{0.45}	900	500	2-D32	5-D32	0.894	550	750	5-D35	
AW _{0.55}	900	600	2-D32	5-D32	0.894	550	750	5-D35	
AW _{0.70}	1200	900	4-D32	7-D32	0.670	550	750	5-D35	

※ 例:「10/8-D38」のような表記は、1 段筋に10-D38、 2 段筋に8-D38 配筋とする。

3.4 柱の限界曲率と変形角の算定

靭性保証指針 6を参考にして,下式により柱の限界曲率 $(c\phi_u)$, 限界変形角 (cR_u) 及び変形角 (cR_S, cR_D) を算 定する。なお、cRsは静的解析による値、cRDは動的解析 による値である。

$${}_{C}R_{u} = {}_{C}\phi_{u} \cdot D \qquad (3-1)$$

$${}_{C}\phi_{u} = \begin{cases} (2/3)/{}_{e}\eta \cdot (1.9 \cdot \varepsilon_{p}/j_{e}) & : 0 <_{e}\eta \leq 1/3 \\ (2/3)/(5 \cdot {}_{e}\eta - 4/3) \cdot (1.9 \cdot \varepsilon_{p}/j_{e}) : 1/3 <_{e}\eta \leq 2/3 \end{cases}$$

$${}_{e}\eta = \begin{cases} \eta_{p} & : 0 < \eta_{p} \leq 1/3 \\ \eta_{p}/5 + 4/15 - \eta_{s} & : 1/3 < \eta_{p} < 2/3/(1 + \gamma) \\ \{(3 + 2 \cdot \gamma)/5\} \cdot \eta_{p} - \eta_{s} & : 2/3/(1 + \gamma) \leq \eta_{p} \leq 2/3 \end{cases}$$

$$\gamma = \eta_{n}/\eta_{p} \quad (\gamma \geq 0)$$

$$\eta_{p} = N_{p}/(j_{e} \cdot b_{e} \cdot \sigma_{p})$$

$$\eta_{n} = N_{n}/(j_{e} \cdot b_{e} \cdot \sigma_{p})$$

$$\eta_{s} = A_{m} \cdot \sigma_{my}/(j_{e} \cdot b_{e} \cdot \sigma_{p})$$

$${}_{C}R_{S} = {}_{C}\phi_{S} \cdot D \qquad (3-2)$$

$${}_{C}R_{D} = {}_{C}\phi_{D} \cdot D \qquad (3-3)$$

ここで、 N_p 、 N_n は部材に生じる静的非線形解析におけ る崩壊形形成時の最大軸力と最小軸力であり, 圧縮を正 とし、 N_n が引張となる場合には0とする。 j_e 、 b_e は柱のコ ア断面の幅及びせいであり、 σ_p 、 ϵ_p はコアコンクリート の最大応力度とその時の軸ひずみ度である。また、cRs及 び cRo の算定には、それぞれ静的非線形解析による柱の 曲率 $(c \phi s)$ と時刻歴解析地震応答解析による柱の曲率 $(c \phi s)$ ϕ_D) を用いる。

4. 解析結果

4.1 保有水平耐力

静的非線形解析によるベースシア係数 (CB) と代表水平 変形角 (R_T) の関係を $\mathbf{20-6}$ に示す。なお、代表水平変形 角は外力分布の重心位置に近い床の水平変形角とする。 すべての解析ケースにおいて、計画した崩壊形を形成し ており、崩壊形形成時のベースシア係数は計画した Cuと ほぼ一致している。

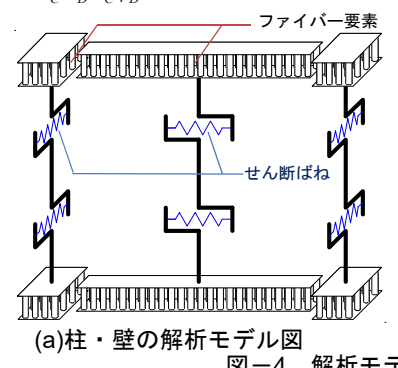
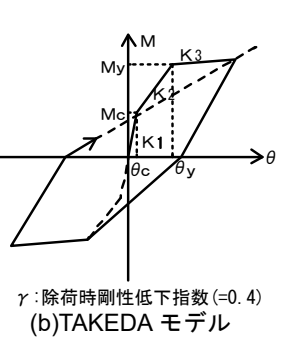


図-4 解析モデル



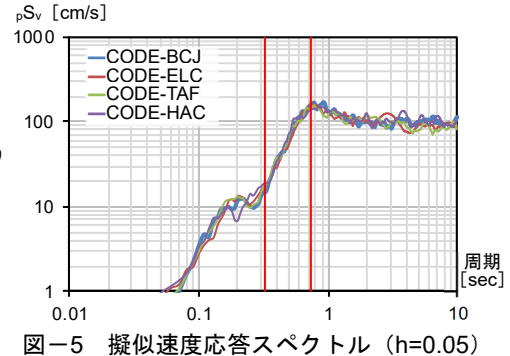
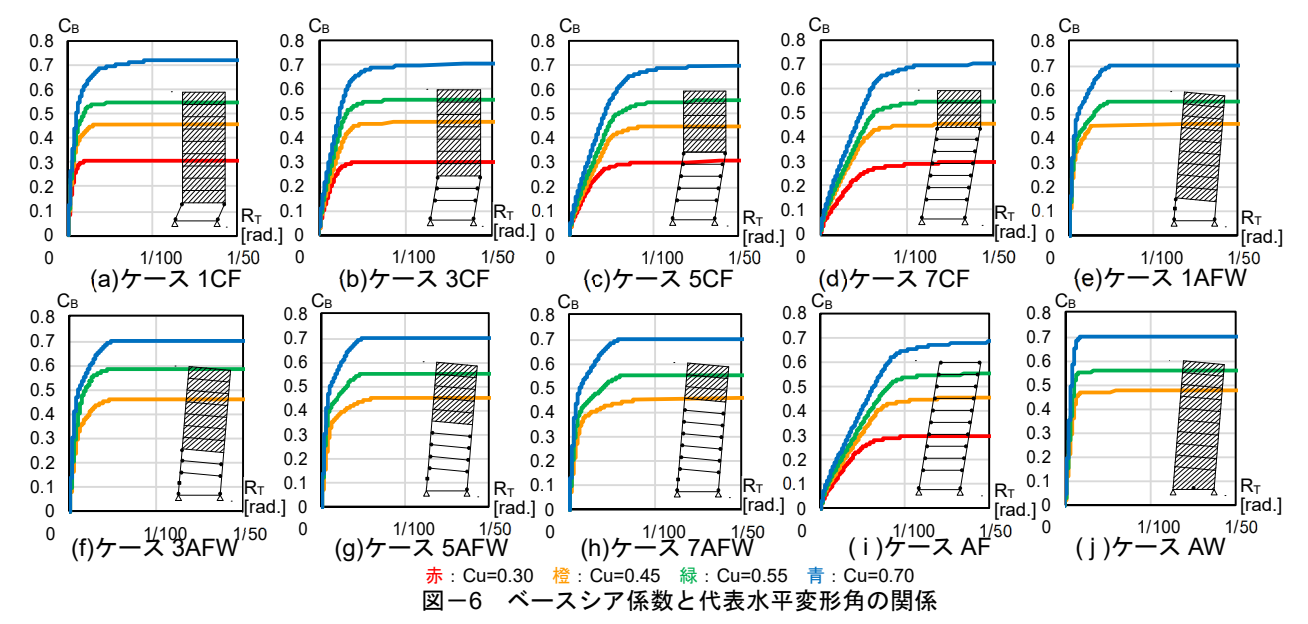


表-3 検討用地震動

波形名称	最大速度	最大加速度	継続時間
(レベル2地震動)	[cm/s]	[cm/s ²]	[s]
CODE-BCJ (2種地盤)	52	330	120
CODE-ELC	54	349	60
CODE-TAF	56	355	60
CODE HAC	0.0	204	0.0

弾性1次固有周期(単位:sec)

C_{u}	1CF	3CF	5CF	/CF	IAFW	3AFW	5AFW	/AFW	A٢	AW
0.30	0. 401	0.568	0.668	0.736	1	1	-	-	0.743	-
0.45	0.367	0.522	0.618	0.622	0.365	0.403	0.408	0.420	0. 685	0.432
0.55	0. 354	0.478	0.574	0.580	0. 338	0.358	0. 381	0.402	0.656	0.382
0.70	0. 335	0.445	0. 518	0. 531	0. 311	0. 323	0. 359	0.373	0.606	0. 328



4.2 地震応答値

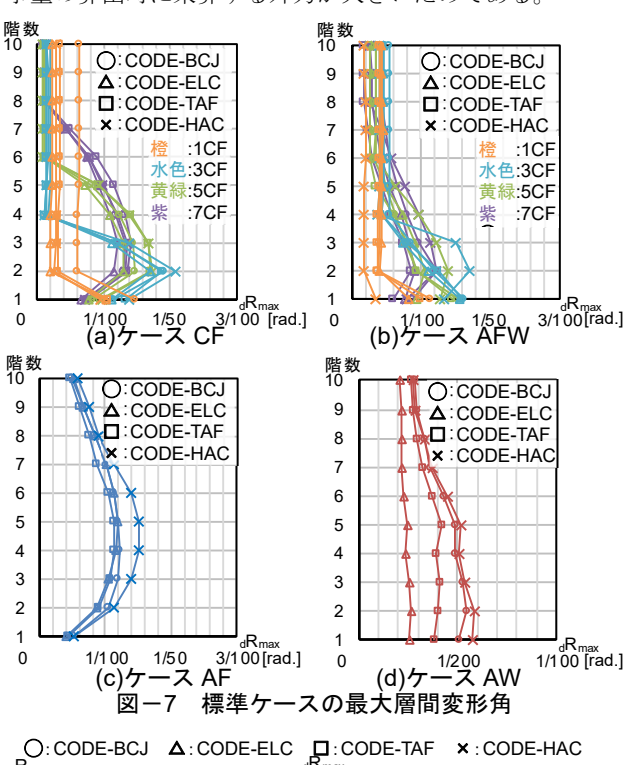
時刻歴地震応答解析による標準ケースの最大応答層間変形角(dR_{max})の高さ方向分布を**図**-7 に示す。ケース CF_{0.55} では dR_{max} は $1/71\sim1/48$ であり,ケース AFW_{0.45} では dR_{max} は $1/88\sim1/70$,ケース AF_{0.30} では dR_{max} は 1/66,ケース AW_{0.45} では dR_{max} は 1/168 である。

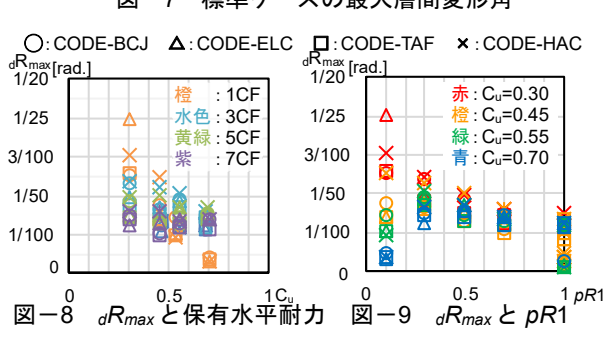
次に、 $_{dR_{max}}$ と $_{C_{u}}$ との関係を図-8 に示す。いずれの検討用地震動においても $_{C_{u}}$ が小さい建物程 $_{dR_{max}}$ の値が大きくなり、 $_{C_{u}}$ が大きい程 $_{dR_{max}}$ が小さい傾向が見られる。また、 $_{dR_{max}}$ と $_{pR1}$ との関係を図-9 に示す。 $_{pR1}=1.0$ のとき崩壊形が全体崩壊形となり、建物全体で地震エネルギーを吸収する。そのため、最大応答層間変形角の値も $_{pR1}$ が 1.0 に近付くほど小さい値となることが分かる。

5. 解析結果の考察

5.1 崩壊層比率

ケース CF について pR1 と pR2 との関係を図-10 に示す。pR1 及び pR2 は骨組の C_u に依らず,同じ値である。 pR2 は pR1 に対して 1.53 倍程度大きい値となっているが,相関性が高いことがわかる。これは, pR2 の算出には Ai 分布を用いており,下層崩壊であるケース CF では仮想仕事量の算出時に乗算する外力が大きいためである。





5.2 崩壊層比率と崩壊層剛性比

ケース CF について崩壊層比率 pR2 と崩壊層剛性比 sK_P との関係を図 – 11 に示す。 pR2 が小さくなる程 sK_P は小さくなる傾向は同じであるが,ケース 1CF では Cu が大きい程 sK_P が大きくなっている。これは,ケース 1CF では Cu が大きい場合には 1 階柱の剛性が増大して変形が小さくなるためであると考えられる。

5.3 ヒンジ柱の軸力比とせん断補強指標

ケース CF について静的非線形解析による柱の軸力比 (N/(BDFc)) と層間変形角 (R) の関係を \mathbf{Z} に示す。 R の増大に伴い,柱の軸力比は増大し,崩壊形形成時には $0.21\sim0.33$ である。 \mathbf{Z} である。 \mathbf{Z} に示すように,崩壊形形成時には は保耐規準における \mathbf{Z} を満足していることがわかる。

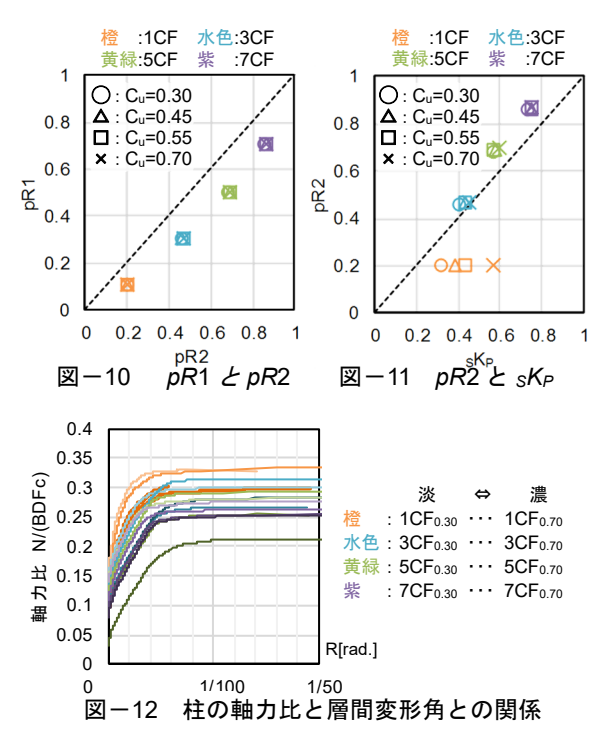


表-5 ヒンジ柱のせん断補強指標

ケース	В	D	Fc	p _w	ν 0	$\sigma_{ m we}$	σ_0^*	$p_w \sigma_{we} / (\nu_0 Fc)$	0. $30 (\sigma_0/Fc)^2 + 0.10$
1CF _{0.30}	1100	700	48	0.009	0. 468	588. 9	15.6	0. 236	0. 132
1CF _{0.45}	1200	800	48	0.008	0. 468	588. 9	15.5	0. 217	0. 131
1CF _{0.55}	1500	800	48	0.008	0. 468	588. 9	14.3	0. 217	0. 127
1CF _{0.70}	1500	1000	48	0.010	0. 468	588. 9	14. 1	0. 260	0. 126
3CF _{0.30}	1100	850	42	0.009	0. 490	5 50. 9	12.5	0. 242	0. 127
3CF _{0.45}	1200	850	48	0.01	0. 468	588. 9	15.0	0. 271	0. 129
3CF _{0.55}	1500	900	48	0. 008	0. 468	588. 9	12.7	0. 217	0. 121
3CF _{0.70}	1500	1000	48	0.008	0. 468	588. 9	13.4	0. 217	0. 123
5CF _{0.30}	1100	900	42	0.009	0.49	550. 9	11.8	0. 242	0. 124
5CF _{0.45}	1200	900	48	0.01	0. 468	588. 9	14.0	0. 271	0. 125
5CF _{0.55}	1500	950	48	0.008	0. 468	588. 9	12. 2	0. 217	0. 119
5CF _{0.70}	1500	1100	48	0.008	0. 468	588. 9	10.2	0. 217	0. 114
7CF _{0.30}	1100	900	42	0.009	0. 49	550. 9	11.7	0. 242	0. 123
7CF _{0.45}	1200	1050	48	0.008	0. 468	588. 9	12. 5	0. 217	0. 120
7CF _{0.55}	1500	1000	48	0.008	0. 468	588. 9	12. 1	0. 217	0. 119
7CF _{0.70}	1500	1200	48	0.008	0. 468	588. 9	12.0	0. 217	0. 119

※ 軸力は崩壊形形成時とする。

5.4 柱の限界変形角と層間変形角

ケース CF について静的非線形解析による 1 階柱脚の変形角 (cR_s) 及び限界変形角 (cR_u) を算出する。 cR_s と層間変形角 (R) との対応を図-13 に,ケース CF について各ケースの cR_u を図-14 に示す。 cR_s は,R とはほぼ比例関係にあり,R が 1/100 では, cR_s は $1/120\sim1/46$,R が 1/50 では, cR_s はケース 1CF $_{0.30}$,1CF $_{0.45}$ を除いて $1/67\sim1/43$ 程度になっている。また,各ケースの cR_u は A ランクの変形能力 $(cR_u$ が概ね 1/50) 1があることがわかる。

5.5 崩壊層の変形増大と崩壊層比率

部分崩壊形における崩壊層の変形増大を検討するために、ケース CF の最大応答層間変形角 (dR_{max}) を全体崩壊形の dR_{max} で除した比率 $(R_{max}$ 比)を算定する。

$$R_{\text{max}} \not\vdash AF = CF \mathcal{O}_{d} R_{\text{max}} / AF_{0.30} \mathcal{O}_{d} R_{\text{max}}$$
 (4)

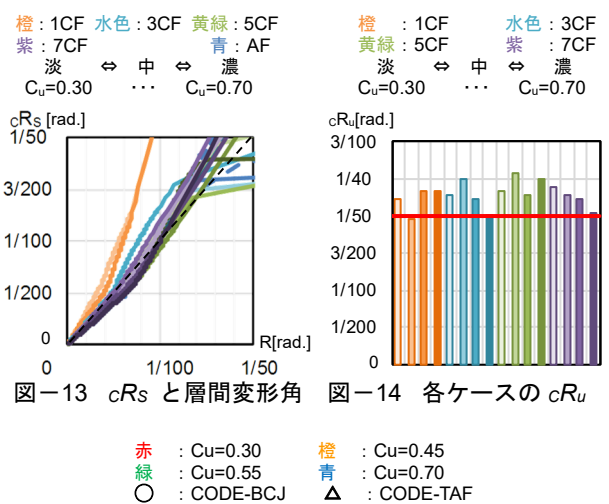
$$R_{\text{max}} \not\vdash AFW = CF\mathcal{O}_{d} R_{\text{max}} / AFW_{0.45} \mathcal{O}_{d} R_{\text{max}}$$
 (5)

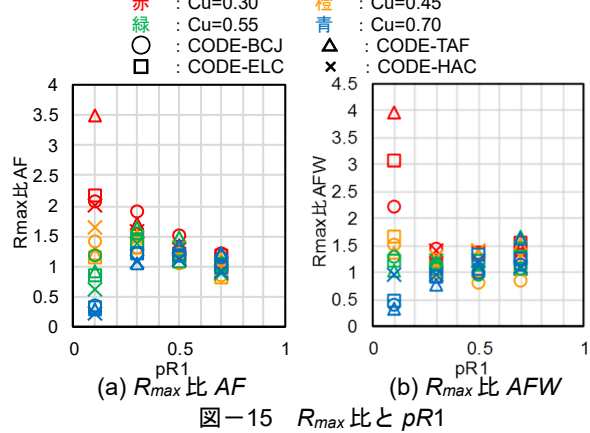
Rmax 比と pR1 との対応を図-15 に、Rmax 比と pR2 との 対応を図-16 に示す。Rmax 比と崩壊層比率の対応を見る と, pR1 及び pR2 が小さくなる程, Rmax 比が大きくなる傾 向が見られる。また、 R_{max} 比 AFW は、ケース AFW の固 有周期が短いために応答が小さくなることから、Rmax 比 AF より大きい値である。また、 R_{max} 比 AF とケース CF の C_u との対応を図-17 に示す。 C_u が大きくなる程, R_{max} 比 AF は小さくなり、 C_u が 0.55 以上では R_{max} 比 AF は 1.65 以下である。また、pR2 が大きくなる程、 R_{max} 比 AF は小 さくなり、pR2 が 1/3 以上かつ Cu が 0.55 以上では Rmax 比 AFは 1.65以下である。また, pR1が 0.1で Cuが 0.70の 1CF_{0.70} の応答が小さい。そこで、入力エネルギー(Ei)と 弾性 1 次固有周期の関係を図-18 に、Ei と pR1 の関係を 図-19 に示す。1CF_{0.70} の応答が小さいのは、固有周期が 短く,入力エネルギーが小さいためと考えられる。また, 応答が小さいケースも同様に固有周期の違いが影響して いると考えられる。

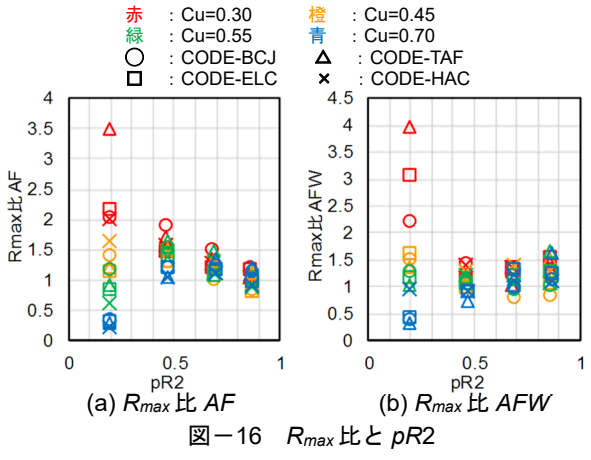
5.6 非崩壊層の層せん断力増大と崩壊層比率

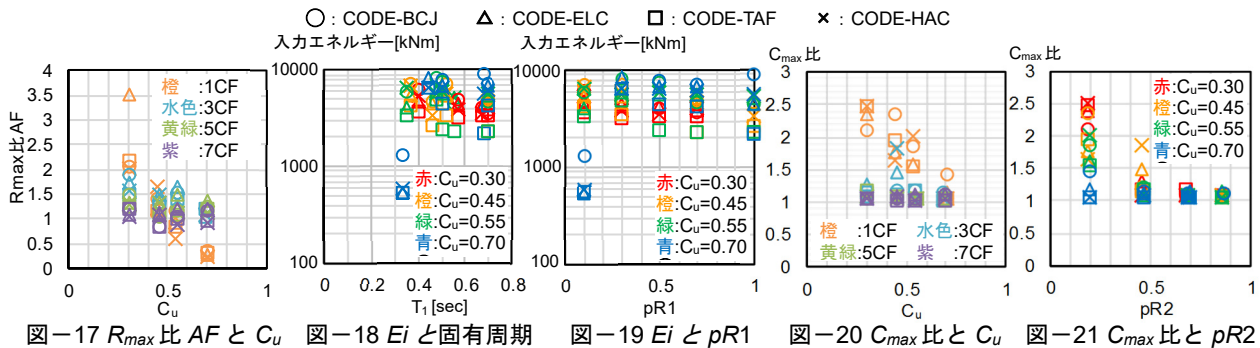
部分崩壊形における非崩壊層の層せん断力増大を検討するために、ケース CF の最大層せん断力を保有水平耐力時の層せん断力で除した比率 (C_{max} 比)を算定する。 C_{max} 比とケース CF の C_u との対応を図-20に、 C_{max} 比と pR2の対応の対応を図-21に示す。 C_u が大きくなる程、 C_{max}

比は小さくなり、 C_u が 0.55 以上では C_{max} 比は 2.01 以下である。また、pR2 が大きくなる程、 C_{max} 比は小さくなり、pR2 が 1/3 以上かつ C_u が 0.55 以上では C_{max} 比は 1.19 以下である。







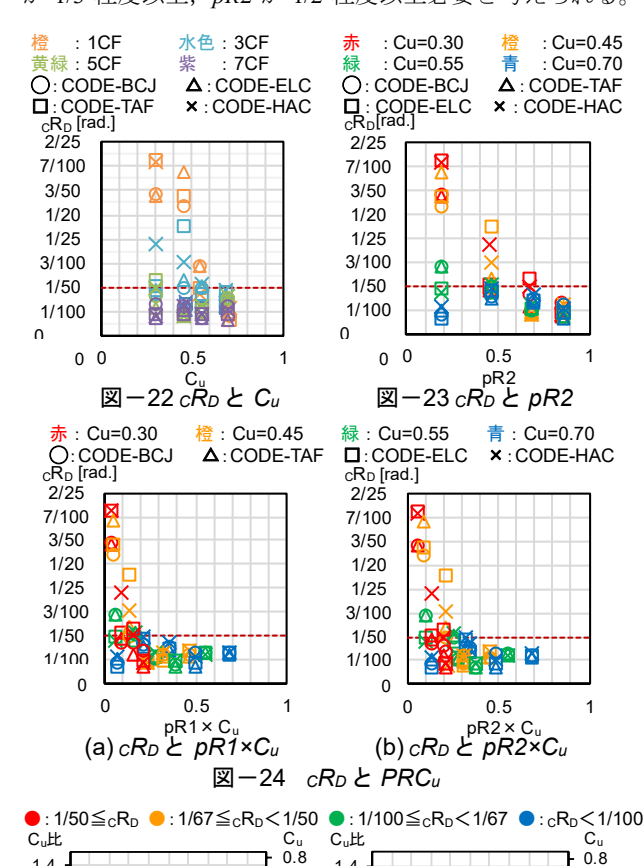


5.7 柱の応答変形と崩壊層の条件

ケース CF について時刻歴地震応答解析による 1 階柱 脚の変形角 (cR_D) と崩壊層の条件について検討する。

図-23 に示す。 cR_D は C_u が大きくなる程小さくなり, cR_D が 1/50 以下となるケースでは、 C_u が 0.70 以上である。ま た、 cR_D はpR2 が大きくなる程小さくなり、 cR_D が 1/50 以 下となるケースでは、pR2 が 2/3 以上である。

次に、 $_{C}R_{D}$ と崩壊層比率に $_{C_{u}}$ を乗じた値($_{PRC_{u}}$)の関 係を図-24 に示す。 cR_D は PRC_u が大きくなる程小さく なり、 cR_D が 1/50以下となるケースでは、pR1 では PRC_u が 0.18 以上, pR2 では PRCu が 0.26 以上である。各ケー スの C_u 値を標準値 0.55 で除した値 (C_u 比) と崩壊層比率 との関係を \mathbf{Z} -25 に示す。図中の印は cR_D の値によるグ ループを示す。 cR_D は C_u 比 が大きくなる程,あるいはpR2が大きくなる程小さくなる傾向が見られる。Ds 値を RC 構造の最大値 0.55 とした場合, Cu は 0.55 以上確保される ため,1階柱脚の変形角 cRDを 1/50 以下とするには,pR1 が 1/3 程度以上, pR2 が 1/2 程度以上必要と考えられる。



1.4

1.2

0.8 0.4

0.6 0.3

0.4 0.2

0.2

図-25 Cu比と崩壊層比率

0

0.7

0.6

0.5

0.1

0

0.5 pR1 (a) Cu比と pR1

1.4

1.2

0.8

0.6

0.4

0.2

0

6. まとめ

下層階で壁が抜ける 10 階建 RC 造骨組を対象として静 的非線形解析及び時刻歴地震応答解析を実施した。その 結果, 本解析の範囲内であるが, 以下の知見を得た。

- (1) 崩壊層比率では、崩壊層の階数による pR1 と仕事量 による pR2 は相関関係にあり、下層階で部分崩壊形 を形成するため、Ai 分布に基づく外力分布を用いる pR2 は pR1 に比べて平均 1.5 倍程度大きい。
- (2) 崩壊層比率の pR2 は,1 層崩壊を除き,崩壊層の変形 比による崩壊層剛性比の sKP に比べてやや大きいが, 概ね対応している。
- (3) 1 階柱脚の変形角 CR_D は C_u が大きくなる程小さくな り、 C_u が 0.70 以上では崩壊層比率に関わらず、 cR_D は 1/50 以下である。
- (4) 1 階柱脚の変形角 cRD は崩壊層比率 pR2 が大きくな る程小さくなり, pR2 が 2/3 以上では C_u に関わらず, cRDは 1/50 以下である。
- (5) 崩壊層比率 pR1 又は pR2 に Cu を乗じた値 PRCu が, それぞれ 0.18 以上, 0.26 以上では 1 階柱脚の変形角 cRDは 1/50 以下である。
- (6) Ds 値を RC 構造の最大値 0.55 とした場合, 1 階柱脚 の変形角 cR_D を 1/50 以下とするには、崩壊層比率 pR1が 1/3 程度以上, pR2 が 1/2 程度以上必要と考えられ る。

今後,特性の異なる地震動や10階建以外の下層階で壁 が抜ける RC 造骨組について崩壊層比率に応じた保有水 平耐力と地震応答の関係について報告したい。

参考文献

- 1) 日本建築学会:鉄筋コンクリート構造保有水平耐力規 準(案)・同解説, 2016.4
- 2) 志村雄輝, 高橋克昌, 秋田知芳, 和泉信之:部分崩壊 形の RC 造建築物における保有水平耐力と地震応答, コンクリート工学年次論文集, Vol.36, No.2, pp.37-42, 2014.7
- 3) 内山慎吾,福地武彰,每田悠承,和泉信之:部分崩壊 形を形成する RC 造建築物における非崩壊層の剛性と 地震応答, コンクリート工学年次論文集, Vol.38, No.2, pp.13-18, 2016.7
- 4) 国土交通省住宅局建築指導課ほか:建築物の構造関係 技術規準解説書, pp.730-748, 2015.6
- 5) 構造システム(株): SNAP Ver.7 テクニカルマニュア ル, 2015.11
- 6) 日本建築学会:鉄筋コンクリート造建築物の靭性保証 型耐震設計指針·同解説, pp.114-126, 1999.8
- 7) 日本建築学会:鉄筋コンクリート造建築物の終局強度 型耐震設計指針・同解説, pp.57-65, 1990.10

0.7

0.6

0.5

0.4

0.3

0.2

0.1

0

0.5 pR2

(b) Cu 比と pR2